射流部を含む段落ち流れの数値解析

(㈱東京建設コンサルタント 正会員 中本 英利 鳥 取 大 学 工 学 部 フェロー 道上 正規 鳥 取 大 学 工 学 部 正会員 檜谷 治

1.はじめに 河川構造物周辺などの流れの急変部では,局所的な流れの発生により局所洗掘が生じる.従来,この局所洗掘に対する数値解析が行なわれているが,流れの計算精度の問題で十分な再現ができていないのが現状である¹⁾.この問題を解明するためには局所流が再現できるような実用的な数値計算法を用いて,複雑な流れ場を対象とした流れの数値解析を行う必要がある.本研究が対象とする流れ場は,段落ち下流部の流況である.段落ち下流部では,常・射流が混在した波状跳水現象と潜り噴流現象が発生することが知られている²⁾.本研究では,その中の波状跳水現象を再現する数値計算法について検討し,従来の実験結果に対する数値解析を行う.

2.4 基礎方程式および計算方法 本計算では,複雑な境界形状でも滑らかな境界条件を課すことのできる FAVOR 法 3 を基礎式に導入する.FAVOR 法では複雑境界上の流れにおいて,格子中に流体部分と境界部分が混在すると考え,任意の格子で流体の占める体積率を V ,i 方向に垂直な断面で流体の占める面積率を A_i と定義する.これにより連続式および運動方程式を流下方向のみ示すと以下のようになる.

【連続式】
$$\frac{\partial}{\partial x}(A_x u) + \frac{\partial}{\partial y}(A_y v) + \frac{\partial}{\partial z}(A_z w) = 0$$
 (1)

【運動方程式(流下方向のみ)】

$$\frac{\partial u}{\partial t} + \frac{1}{V} \left(A_x u \frac{\partial u}{\partial x} + A_y v \frac{\partial u}{\partial y} + A_z w \frac{\partial u}{\partial z} \right) = -\frac{1}{\tilde{n}} \frac{\partial p}{\partial x}
+ \frac{1}{V} \left\{ \frac{\partial}{\partial x} \left(A_x \mathring{a}_h \frac{\partial u}{\partial x} \right) + \frac{\partial}{\partial y} \left(A_y \mathring{a}_h \frac{\partial u}{\partial y} \right) + \frac{\partial}{\partial z} \left(A_z \mathring{a}_z \frac{\partial u}{\partial z} \right) \right\} \quad \dots (2)$$

$$\int_{h} = \frac{1}{6} u \cdot h_{0} \qquad u_{*} = \sqrt{g h_{0} I} \qquad \dots (3)$$

$$\left(\frac{z}{h} < 0.5 \quad ; \quad z = u \cdot h_{0} \frac{z}{h} \left(1 - \frac{z}{h} \right) \times n \right)$$

$$\left(\frac{z}{h} \ge 0.5 \quad ; \quad z = 0.25 \quad u_{*} h_{0} \times n \qquad n = \left(\frac{h}{h_{0}} \right)^{3/2} \quad \dots (4)$$

ここに , :カルマン定数 (= 0.4), u.: 摩擦速度 , h_0 : 等流水深 , I: 水路床勾配である . (4) 式は従来の Parabolic-Constant 型のものに , 水路床形状により水深 が急激に変化する場の影響を考慮したものである . 4)

本研究では河床変動計算への適用を考え,より実用性を重視している.そのため鉛直方向流速 w については連続式(1)を水路床より任意の点まで積分することにより求める.また水深 h は 2 次元の連続式である次式により求める.

$$\frac{\partial h}{\partial t} + \frac{\partial \overline{u}h}{\partial x} + \frac{\partial \overline{v}h}{\partial y} = 0 \qquad \dots \qquad (5)$$

ここに,上付横線は断面平均値を示す.

上記の(2),(5)式を常・射流が混在した流れでも適用可能である MacCormack 法により差分化し流れ場を求める

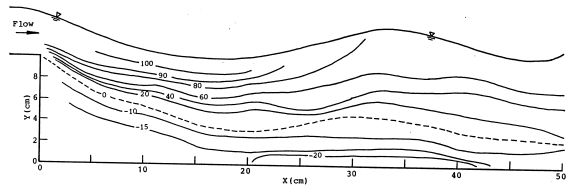


図-1(a)等流速線図(実験値)

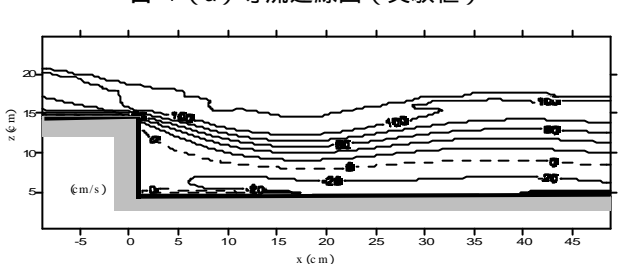
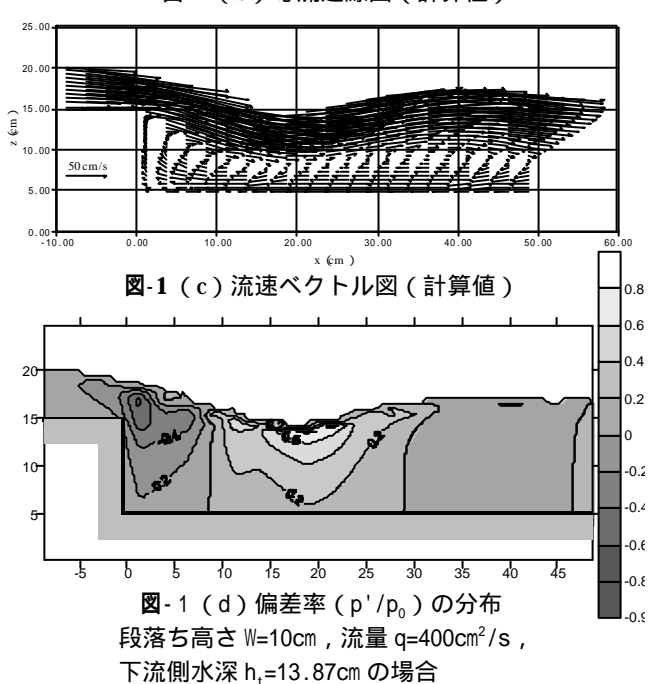


図-1(b)等流速線図(計算値)



キーワード:段落ち流れ,常・射流混在,波状跳水,数値解析,FAVOR法

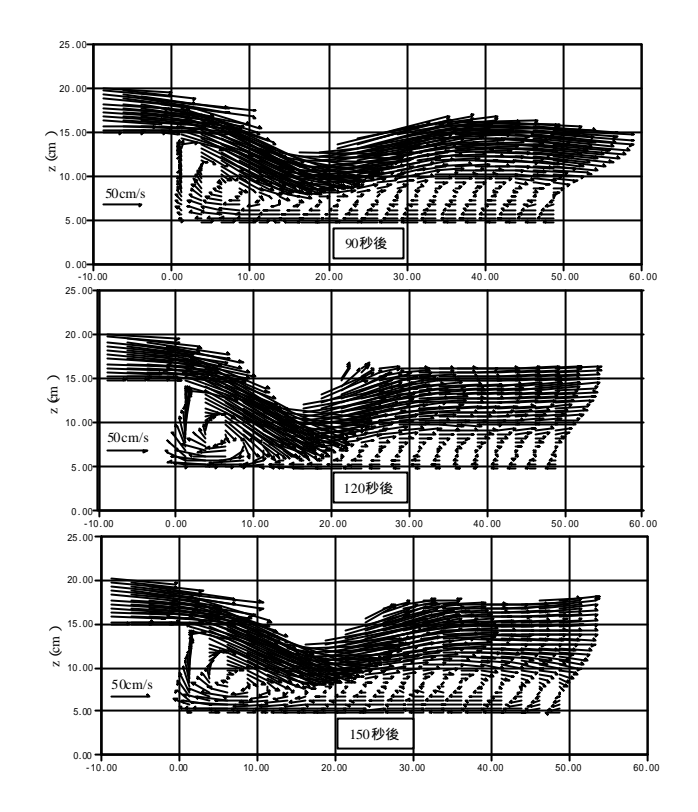
わけであるが,本計算法では圧力の鉛直方向分布を考慮に 入れている.そこで圧力pを静水圧p₀とこれからの偏差p' に分けて次式のように表わす.

$$p = p_0 + p' = g(-z) + p'$$
 : \mathring{x}

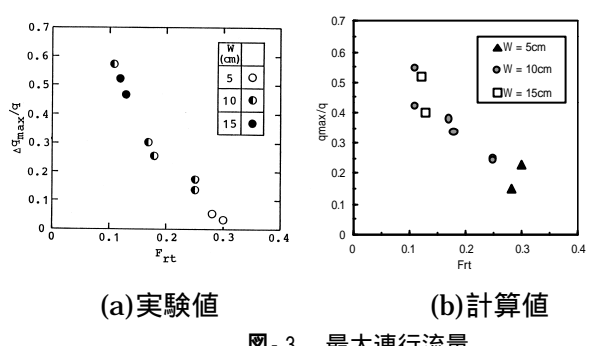
また,鉛直方向の運動方程式の時間項を微小項として省略 すると,p'に関する(7)式が導かれ,水面で p'が 0 とい う境界条件のもとに差分法を用いて p'を計算することが できる.差分は慣性項に対しては風上差分,その他の項に 関しては中央差分を用いる.

$$\frac{1}{V} \left(A_{x} u \frac{\partial w}{\partial x} + A_{y} v \frac{\partial w}{\partial y} + A_{z} w \frac{\partial w}{\partial z} \right) = -\frac{1}{\tilde{n}} \frac{\partial p'}{\partial z}
+ \frac{1}{V} \left\{ \frac{\partial}{\partial x} \left(A_{x} \mathring{a}_{h} \frac{\partial w}{\partial x} \right) + \frac{\partial}{\partial y} \left(A_{y} \mathring{a}_{h} \frac{\partial w}{\partial y} \right) + \frac{\partial}{\partial z} \left(A_{z} \mathring{a}_{z} \frac{\partial w}{\partial z} \right) \right\} \quad \dots (7)$$

図-1は,従来2)の実験結果と 比較するため 段落ち高さ W=10cm 単位幅流量 q=400cm²/s, 下流側水深 h, = 13.87cm のケースにおける (a) 等流速線 図(実験値),(b)等流速線図(計算値),(c)流速ベク トル図(計算値),(d)偏差率の分布を示したものであり, 値が正の場合p'は正圧,負の場合p'は負圧を表してい る.計算結果は通水開始から1分後の結果であり,等流 速線図中の破線は流速 u=0cm/s の線である.図を比較し てもわかるように,実験結果,計算結果ともに段落ち下 流端で剥離した主流水脈は波状形状をして水面付近を流 れており、主流水脈下部の水路床付近には逆流領域を形 成している.主流水脈下部の段落ち付近には,主流水脈 へ一部流量が連行されるため上昇流がみられ,流況をよ く再現していると思われる.また,p'が p。から大きく 偏差しているのは段落ち直下流部の水面付近と水面形が 下に凸となっている領域であり、それぞれ負と正のピー クを示している.この場合 p ' は p の 6 割程度の大きさ となるため無視できるオーダーではなく、この領域にお いて圧力の鉛直方向分布を考慮することが重要であるこ とがわかる.



時間的変化(流速ベクトル図) 叉 - 2



文 - 3 最大連行流量

図-2 は計算において通水開始から5分間の流速の時間的変化を30秒毎に示した流速ベクトル図のうち,90秒~ 150 秒後の結果を示したものである . 5 分の通水でも定常には至らず , 図のように主流水脈が時間的に大きく変動 している様子がみられた.主流水脈が再付着するまでの距離 Lr は,時間的に段落ち高さ W の約5~15 倍と非常に 広い範囲で変動しており、逆流領域が流下方向へ伸縮していることがよくわかる、これは実験においても確かめ られていることであり、剥離流線周辺の圧力分布の変動が大きな影響を及ぼしているものだと考えられる、

逆流領域が形成されるためには,主流水脈からの流量の連行が必要となる.この連行流量は,逆流領域が形成さ れている各断面において、主流水脈の流速分布を積分することによって得られた流量と通水流量との差で定義す る . 図- 3 は各断面における連行流量 q のうち最大なもの q_{max} を通水流量 q で無次元化したものと下流側のフル ード数 Frt との関係を示したものである.計算値は通水開始から1分後の値である.図より計算結果と実験結果 とはほぼ同様の傾向を示しており、連行流量に関しても実験値を再現できることがわかった・

本計算法を用いて、段落ち部に射流部を含み、その下流部に発生する波状跳水現象のよう な複雑な流況をある程度の精度で再現することが可能であった、今後さらに改良を進め、潜り噴流現象の再 現および河床変動計算への適用を考えている.

1)道上ら:水制周辺の平面2次元河床変動に関する研究,水工学論文集第36巻,pp.61-66,1992. 2)鈴木ら:段落ち部の流況特性,第29回水理講演会論文集,pp.615-620,1985.3)C.W.Hirt:Volume-fraction techniques: Powerful tools for wind engineering, Journal of Wind Engineering No.52, pp.333-344,1992. 4)安井秀則:トレンチ内の流れ構造と流砂の堆積機構に関する研究,鳥取大学修士論文,1990.